

## 2.assignment\_2.6.tex

空間二階精度 MINMOD 離散格式

September 22, 2025

### 一 二維穩態擴散對流方程的一般離散型式

若

- (1) A 流場被定義為 V 不可壓縮流場
- (2) A 流場被定義為 GF 穩態流動相應之流場
- (3) 不考慮 A 流場的黏性應力耗散項  $\Phi$

則：

A 流場的能量方程式被定義為：

$$\vec{u} \cdot \vec{\nabla} T = -\vec{\nabla} \cdot (\Gamma \vec{\nabla} T) \quad (一.1)$$

上式  $\vec{u} \cdot \vec{\nabla} T = -\vec{\nabla} \cdot (\Gamma \vec{\nabla} T)$  即被稱為穩態擴散對流方程的微分形式。若對上式取體積分，並引入連續方程式，則有：

$$\oint_{\partial\Omega} \vec{da} \cdot (\vec{u} T) = \oint_{\partial\Omega} \vec{da} \cdot (\Gamma \vec{\nabla} T) \quad (一.2)$$

上式即稱為穩態擴散對流方程的積分形式。若取 (W((D 二維穩態擴散對流方程) 的 (積分形式)) 的 (一般離散格式))，則有：

$$\begin{aligned} & A_e u_e T_e - A_w u_w T_w + A_n u_n T_n - A_s u_s T_s \\ &= A_e \Gamma_e \left. \frac{\partial T}{\partial x} \right|_e - A_w \Gamma_w \left. \frac{\partial T}{\partial x} \right|_w + A_n \Gamma_n \left. \frac{\partial T}{\partial y} \right|_n - A_s \Gamma_s \left. \frac{\partial T}{\partial y} \right|_s \end{aligned} \quad (一.3)$$

其中，各變量的下標  $w, e, s, n$  分別代表該變量在點  $(i + \frac{1}{2}, j), (i - \frac{1}{2}, j), (i, j + \frac{1}{2}), (i, j - \frac{1}{2})$  取值。進一步的，在一般離散格式中，對各邊界中心點的溫度場的一階法向導數取二階精度中心差分：

(U(E(S 溫度場) 的 (一階法向偏導數)) 的 (二階精度中心差分))

$$\begin{aligned} \left. \frac{\partial T}{\partial x} \right|_e &\approx \frac{T_E - T_P}{\delta x}, & \left. \frac{\partial T}{\partial x} \right|_w &\approx \frac{T_P - T_W}{\delta x} \\ \left. \frac{\partial T}{\partial y} \right|_n &\approx \frac{T_N - T_P}{\delta y}, & \left. \frac{\partial T}{\partial y} \right|_s &\approx \frac{T_P - T_S}{\delta y} \end{aligned}$$

因此有：(W((D 二維穩態擴散對流方程) 的 (積分形式)) 的 (一般離散格式))：

$$\begin{aligned} & A_e u_e T_e - A_w u_w T_w + A_n u_n T_n - A_s u_s T_s \\ &= A_e \Gamma_e \frac{T_E - T_P}{\delta x} - A_w \Gamma_w \frac{T_P - T_W}{\delta x} + A_n \Gamma_n \frac{T_N - T_P}{\delta y} - A_s \Gamma_s \frac{T_P - T_S}{\delta y} \end{aligned} \quad (一.4)$$

在二維均勻正交網格中， $A_e = A_w = \delta y, A_n = A_s = \delta x$ ，且令熱擴散係數  $\Gamma$  為常數，上式亦有如下形式之簡化：

$$\begin{aligned}
& \delta y \cdot u_e T_e - \delta y \cdot u_w T_w + \delta x \cdot u_n T_n - \delta x \cdot u_s T_s \\
&= \delta y \cdot \Gamma \frac{T_E - T_P}{\delta x} - \delta y \cdot \Gamma \frac{T_P - T_W}{\delta x} + \delta x \cdot \Gamma \frac{T_N - T_P}{\delta y} - \delta x \cdot \Gamma \frac{T_P - T_S}{\delta y} \\
&= \Gamma \left( -2 \frac{\delta y}{\delta x} - 2 \frac{\delta x}{\delta y} \right) T_P + \Gamma \frac{\delta y}{\delta x} T_W + \Gamma \frac{\delta y}{\delta x} T_E + \Gamma \frac{\delta x}{\delta y} T_S + \Gamma \frac{\delta x}{\delta y} T_N
\end{aligned} \tag{一.5}$$

若在二維均勻正方網格中，(ie. 對於每一個網格而言， $A_e = A_w = \delta y = \delta x = A_n = A_s$ )，上式又可以做如下簡化：

$$\begin{aligned}
& \delta y \cdot u_e T_e - \delta y \cdot u_w T_w + \delta x \cdot u_n T_n - \delta x \cdot u_s T_s \\
&= -4\Gamma T_P + \Gamma T_W + \Gamma T_E + \Gamma T_S + \Gamma T_N
\end{aligned} \tag{一.6}$$

## 二 MINMOD 格式

### 二、1 MINMOD 近似取值

在空間二階精度 MINMOD 格式中，(E(r(p 計算點) 的 (邊界中心點)) 的 (溫度場)) 有如下取值：

$$T_f = D(r_f)T_D + U(r_f)T_U + UU(r_f)T_{UU}$$

其中，

$$D(r_f < 0) = 0 \quad , \quad D(0 \leq r_f < 1) = 0 \quad , \quad D(1 \leq r_f) = \frac{1}{2}$$

$$U(r_f < 0) = \frac{2}{2} \quad , \quad U(0 \leq r_f < 1) = \frac{3}{2} \quad , \quad U(1 \leq r_f) = \frac{1}{2}$$

$$UU(r_f < 0) = 0 \quad , \quad UU(0 \leq r_f < 1) = \frac{-1}{2} \quad , \quad UU(1 \leq r_f) = 0$$

其中，下標 f 代表計算點 p 的某一個邊界中心點，且  $r_f = \frac{T_U - T_{UU}}{T_D - T_U}$  接下來，我們從式一.6 出發，帶入上述 (U(E(r(p 計算點) 的 (邊界中心點)) 的 (溫度場)) 的 (空間二階精度 MINMOD 近似取值))，則有：(令  $(u_w, u_e, u_s, u_n) = (1, 1, 1, 1)$ )

$$\begin{aligned}
& \delta y \cdot (D(r_e)T_E + (U(r_e) - D(r_w))T_P + (UU(r_e) - U(r_w))T_W - UU(r_w)T_{WW}) \\
& + \delta x \cdot (D(r_n)T_N + (U(r_n) - D(r_s))T_P + (UU(r_n) - U(r_s))T_S - UU(r_s)T_{SS}) \\
&= -4\Gamma T_P + \Gamma T_W + \Gamma T_E + \Gamma T_S + \Gamma T_N
\end{aligned} \tag{二.1}$$

編程提醒：

在編輯程式的過程中，最好將  $r_f$  設為矩陣形式，跟溫度場做連結，一但溫度場的更新， $r_f$  跟著一起更新：

```

1 |vector<vector<double >>r_f_w ;
2 |r_f_w.assign(NX, vector<double>(NX, 0.0)); //用到ghost point
3 |//.....溫度場更新完成
4 |for(int i = 2 ; i <= NX ; i++){
5 |    for(int j = 1 ; j <= NY ; j++){
6 |        r_f_w[i][j] = (T[i-1][j] - T[i-2][j])/(T[i][j] - T[i-1][j]) ;
7 |    }
8 |}

```

Figure 二.1 :  $r_f$  更新示意圖

## 二、2 內點的離散方程

定義域： $i = [2, NX]$  ,  $j = [2, NY]$

方程式：2D-steady advection-diffusion equation

方法：space second-order MINMOD scheme

對於每一個內點  $(i, j)$ ，二維穩態擴散對流方程的空間二階精度 MINMOD 離散格式為：

$$\begin{aligned}
 & T_P(4\Gamma + \delta y \cdot (U(r_e) - D(r_w)) + \delta x \cdot (U(r_n) - D(r_s))) \\
 & = T_E(\Gamma - \delta y \cdot D(r_e)) \\
 & + T_W(\Gamma - \delta y \cdot (UU(r_e) - U(r_w))) \\
 & + T_{WW}(-\delta y \cdot (UU(r_w))) \\
 & + T_N(\Gamma - \delta x \cdot D(r_n)) \\
 & + T_S(\Gamma - \delta x \cdot (UU(r_n) - U(r_s))) \\
 & + T_{SS}(-\delta x \cdot (UU(r_s)))
 \end{aligned} \tag{二.2}$$

## 二、3 虛擬節點的設置

對於內點而言，在一維穩態擴散對流方程的空間二階精度 MINMOD 離散格中，會用到四個點。相應的，在二維穩態擴散對流方程的空間二階精度 MINMOD 離散格式中，會用到八個點。如下圖所示：

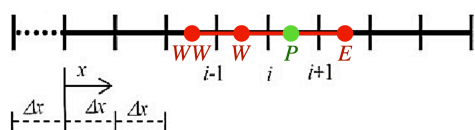


Figure 二.2 : 1D-4point stencil

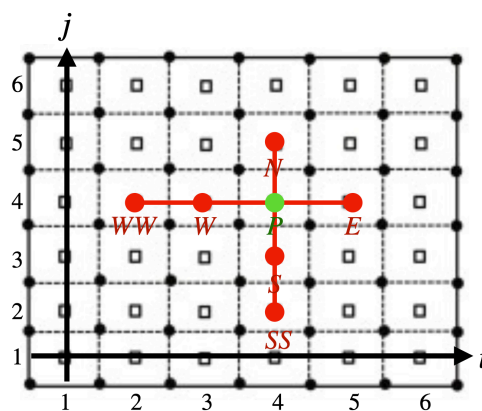


Figure 二.3 : 2D-8point stencil

有三種情況會用到 Ghost point (虛擬節點)：

### 二、3.1 MINMOD 格式下的第一排邊界點

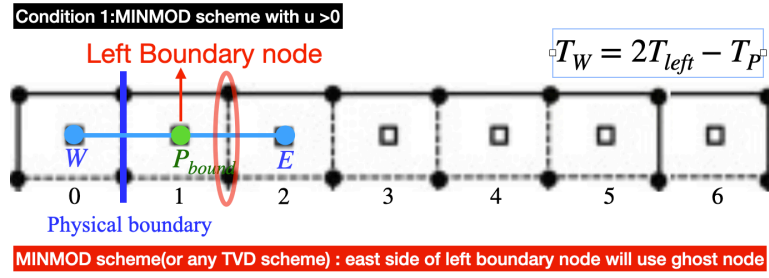


Figure 二.4 : MINMOD 格式下的第一排邊界點

在迎風條件 ( $u > 0$ ) 下，(Q(Y(E(p 左邊界計算點) 的 (東邊界中心點)) 的 (溫度場)) 的 (空間二階精度 MINMOD 近似取值)) 會用到超出左邊界區域的計算點  $W$  point,  $T_W$ ，我們將其稱之為 Ghost point (虛擬節點)，並將其賦值為： $T_W = 2 * T_{left} - T_P$ 。

### 二、3.2 MINMOD 格式下的第二排邊界點

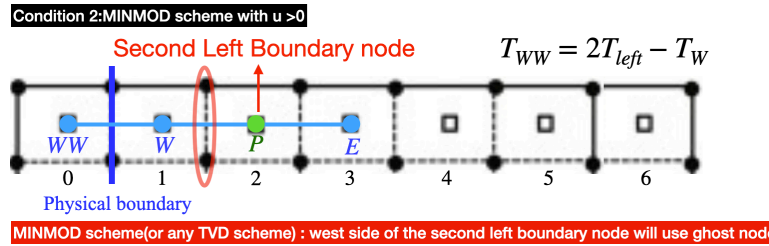


Figure 二.5 : MINMOD 格式下的第二排邊界點

在迎風條件 ( $u > 0$ ) 下，(H(L(E(i 左邊界第二排計算點) 的 (西邊界中心點)) 的 (溫度場)) 的 (空間二階精度 MINMOD 近似取值)) 會用到超出左邊界區域的計算點  $WW$  point,  $T_W$ ，我們將其稱之為 Ghost point (虛擬節點)，並將其賦值為： $T_H = 2 * T_{left} - T_P$ 。

### 二、3.3 Neumann 條件下的邊界點

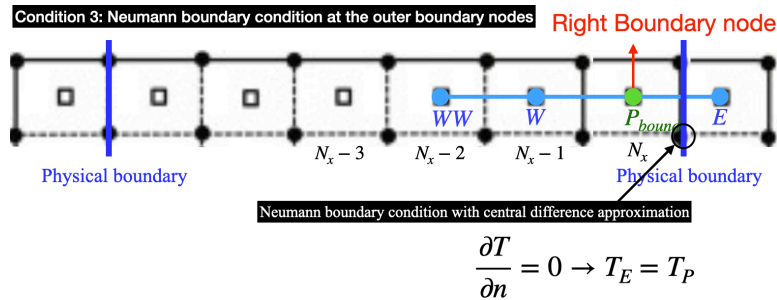


Figure 二.6 : Neumann 條件下的邊界點

Neumann 條件為給定 (E(D(T 溫度場) 的 (一階法向偏導數)) 的 (邊界函數))，呈如下函數式：

$$\left. \frac{\partial T}{\partial n} \right|_{boundary} = g(\vec{r}) = 0$$

此題中，所用到的 Neumann 條件為絕熱邊界條件，因此，在上邊界，有  $\vec{n} \cdot \vec{\nabla} T = 0$  而，在邊界上某一點 (ex:  $(i, N_y)$ )，取 (K(U(F(T 溫度場) 的 (一階法向導數)) 的 (邊界函數)) 的 (二階精度中心差分))，有：

$$\left. \frac{\partial T}{\partial y} \right|_{i, N_y} \approx \frac{T_{i, N_y+1} - T_{i, N_y}}{\delta y}$$

因此，若 (D(G(K(T 溫度場) 的 (一階法向偏導數)) 的 (邊界函數)) 的 (二階精度中心差分)) = 0 恆成立，

$$\frac{T_{i, N_y+1} - T_{i, N_y}}{\delta y} = 0$$

，則 (E(R(F(C 上邊界計算點) 的 (北側邊界中心點)) 的 (溫度場)) 的 (近似取值)) 必然使用到 Ghost point 上的溫度場，且令 Ghost point 上的溫度場為邊界計算點上未知待解的溫度場： $T_P$ ，因此，對於北邊界中心點的溫度場，可以近似取值為：

(F(R(S(D 上邊界計算點) 的 (北側邊界中心點)) 的 (溫度場)) 的 (空間二階精度 MINMOD 近似取值)):

for up boundary node  $(i, N_y)$  :

$$\begin{aligned} T_n &= D(r_n)T_N + U(r_n)T_P + UU(r_n)T_S \\ &= D(r_n)T_P + U(r_n)T_P + UU(r_n)T_S \end{aligned} \quad (二.3)$$

(F(R(S(D 上邊界計算點) 的 (北側邊界中心點)) 的 (溫度場)) 的 (空間二階精度 UPWIND 近似取值)):

for up boundary node  $(i, N_y)$  :

$$\begin{aligned} T_n &= \frac{1}{2}T_N + \frac{3}{2}T_P \\ &= \frac{1}{2}T_P + \frac{3}{2}T_P \end{aligned} \quad (二.4)$$

這些近似都可以很好的套用到邊界 Neumann 條件做使用。

## 二、3.4 對流項的中心差分格式

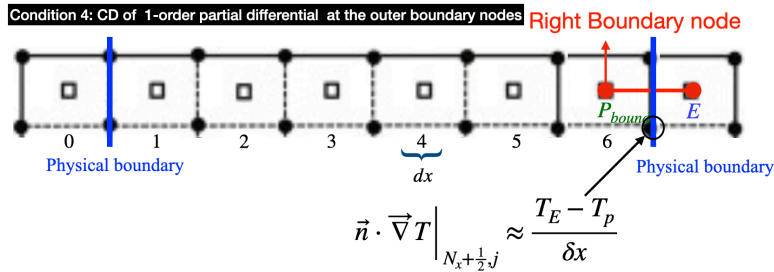


Figure 二.7：外側邊界上擴散項的二階精度中心差分

對於邊界計算點而言，(E(S(T(F 邊界計算點) 的 (外側邊界中心點)) 的 (法向溫度梯度)) 的 (二階精度中心差分))，會用到 Ghost point 上的溫度場，且令 Ghost point 上的溫度場為  $2T_{right} - T_P$ 。因此，外側邊界中心點的法向溫度梯度可以表示為：

$$\left. \frac{\partial T}{\partial n} \right|_e \approx \frac{2(T_{right} - T_P)}{\delta x} \quad (二.5)$$

## 二、3.5 二維虛擬節點的分佈

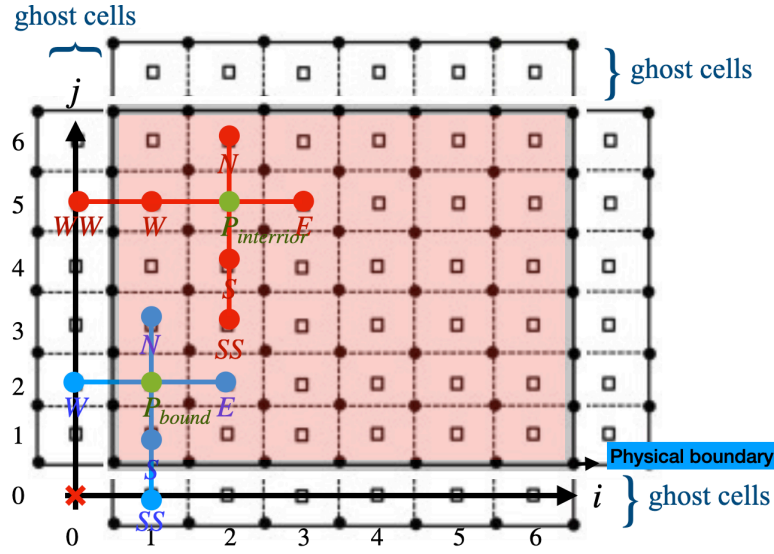


Figure 二.8：二維虛擬節點的分佈

在此二維問題中，  
若

- (1) 每一個計算點的邊界中心點的溫度場，近似取為 (R(D(k(p 計算點) 的 (邊界中心點)) 的 (溫度場)) 的 (空間二階精度 MINMOD 近似取值))
- (2) 迎風條件： $u>0$  and  $v>0$
- (3) Neumann 條件： $(D(G(K(T 溫度場) 的 (一階法向偏導數)) 的 (上邊界函數)) 的 (二階精度中心差分)) = 0$  恆成立

則，對於全場計算點，((E 二維穩態擴散對流方程) 的 (空間二階精度 MINMOD 離散格式)) 中，會用到的虛擬節點分佈如圖二.8 所示。

## 二、4 邊界計算點的離散方程式

以下將討論各個邊界計算點上所滿足的離散方程。範圍：(包括四個邊界以及四格角點)

- |                                              |                                  |
|----------------------------------------------|----------------------------------|
| (1) 左邊界計算點 ( $i = 1, j \in [2, N_{y-1}]$ )   | (1) 左下計算點 ( $i = 1, j = 1$ )     |
| (2) 右邊界計算點 ( $i = N_x, j \in [2, N_{y-1}]$ ) | (2) 右下計算點 ( $i = N_x, j = 1$ )   |
| (3) 下邊界計算點 ( $i \in [2, N_x - 1], j = 1$ )   | (3) 左上計算點 ( $i = 1, j = N_y$ )   |
| (4) 上邊界計算點 ( $i \in [2, N_x - 1], j = N_y$ ) | (4) 右上計算點 ( $i = N_x, j = N_y$ ) |

格式：(S(R 二維穩態擴散對流方程) 的 (空間二階精度 MINMOD 離散格式))

注意: 設置虛擬節點的範圍，以及虛擬節點上的溫度取值:

- |                                                          |                                             |
|----------------------------------------------------------|---------------------------------------------|
| (1) 左邊界計算點之左延伸行計算點 ( $i = 0, j \in [2, N_{y-1}]$ )       | : $T_{0,j} = 2 * T_{left} - T_{1,j}$        |
| (2) 右邊界計算點之右延伸行計算點 ( $i = N_x + 1, j \in [2, N_{y-1}]$ ) | : $T_{N_x+1,j} = 2 * T_{right} - T_{N_x,j}$ |
| (3) 下邊界計算點之下延伸列計算點 ( $i \in [2, N_x - 1], j = 0$ )       | : $T_{i,0} = 2 * T_{bottom} - T_{i,1}$      |
| (4) 上邊界計算點之上延伸列計算點 ( $i \in [2, N_x - 1], j = N_y + 1$ ) | : $T_{i,N_y+1} = T_{i,N_y}$                 |

下圖為各個需要用到的 ghost point 分布，以及該點 ghost point 上的外差取值 (用到邊界條件)。

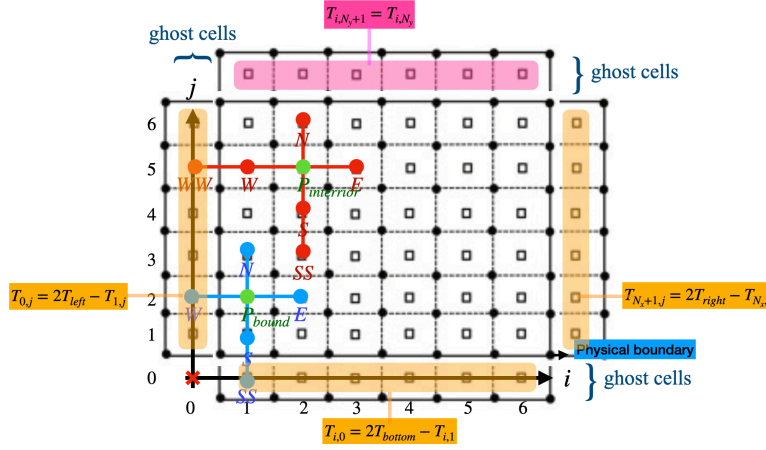


Figure 2.9 : ghost point predict value

#### 二、4.1 左邊界計算點

範圍： $i = 1, j \in [2, N_y - 1]$

g 左邊界計算點的 (K(D 二維穩態擴散對流方程) 的 (空間二階精度 MINMOD 離散格式)) 為：

$$\begin{aligned}
 & T_P(4\Gamma + \delta y(U(r_e)) + \delta x(U(r_n) - D(r_s))) \\
 & = T_W(\Gamma - \delta y(UU(r_e))) \\
 & + T_E(\Gamma - \delta y(D(r_e))) \\
 & + T_S(\Gamma - \delta x(UU(r_n) - U(r_s))) \\
 & + T_N(\Gamma - \delta x(D(r_n))) \\
 & + T_{SS}(-\delta x(-UU(r_s))) \\
 & + T_{left}(+\delta y)
 \end{aligned} \tag{2.6}$$

#### 二、4.2 右邊界計算點

範圍： $i = N_x, j \in [2, N_y - 1]$

j 右邊界計算點的 (K'(D' 二維穩態擴散對流方程) 的 (空間二階精度 MINMOD 離散格式)) 為：

$$\begin{aligned}
 & T_P(4\Gamma + \delta y(-D(r_w)) + \delta x(U(r_n) - D(r_s))) \\
 & = T_W(\Gamma - \delta y(-U(r_w))) \\
 & + T_E(\Gamma) \\
 & + T_S(\Gamma - \delta x(UU(r_n) - U(r_s))) \\
 & + T_N(\Gamma - \delta x(D(r_n)))
 \end{aligned} \tag{2.7}$$

$$\begin{aligned}
& +T_{WW}(-\delta y(-UU(r_w))) \\
& +T_{SS}(-\delta y(-UU(r_s))) \\
& -T_{right}(\delta y)
\end{aligned} \tag{二.8}$$

#### 二、4.3 下邊界計算點

範圍： $i \in [2, N_x - 1]$ ， $j = 1$

p 下邊界計算點的 (K''(D'' 二維穩態擴散對流方程) 的 (空間二階精度 MINMOD 離散格式)) 為：

$$\begin{aligned}
& T_P(4\Gamma + \delta y(U(r_e) - D(r_w)) + \delta x(U(r_n))) \\
& =T_W(\Gamma - \delta y(UU(r_e) - U(r_w))) \\
& +T_E(\Gamma - \delta y(D(r_e))) \\
& +T_S(\Gamma - \delta x(UU(r_n))) \\
& +T_N(\Gamma - \delta x(D(r_n))) \\
& +T_{WW}(-\delta y(-UU(r_w))) \\
& +dx \cdot T_{bottom}
\end{aligned} \tag{二.9}$$

#### 二、4.4 上邊界計算點

範圍： $i \in [2, N_x - 1]$ ， $j = N_y$

b 上邊界計算點的 (K'''(D''' 二維穩態擴散對流方程) 的 (空間二精度 MINMOD 離散格式)) 為：

$$\begin{aligned}
& T_P(3\Gamma + \delta y(U(r_e) - D(r_w)) + \delta x(U(r_n) - D(r_s))) \\
& =T_W(\Gamma - \delta y(UU(r_e) - U(r_w))) \\
& +T_E(\Gamma - \delta y(D(r_e))) \\
& +T_S(\Gamma - \delta x(UU(r_n) - U(r_s))) \\
& +T_N(-\delta x(D(r_n))) \\
& +T_{WW}(-\delta y(-UU(r_w))) \\
& +T_{SS}(-\delta x(-UU(r_s)))
\end{aligned} \tag{二.10}$$

上式為套用 Neumann 條件下的結果，基於 Neumann 條件，並沒有用到外源項。